



TITLE:

Jones's Braid-Plat Formulae, and a New Surgery Triple

AUTHOR(S):

金信, 泰造

CITATION:

金信, 泰造. Jones's Braid-Plat Formulae, and a New Surgery Triple. 数理解析研究所講究録 1987, 620: 162-168

ISSUE DATE:

1987-04

URL:

<http://hdl.handle.net/2433/99878>

RIGHT:

Jones's Braid-Plat Formulae, and a New Surgery Triple

Columbia 大学 Joan S. Birman

九州大学 理学部 金信 泰造

(Taizo Kanenobu)

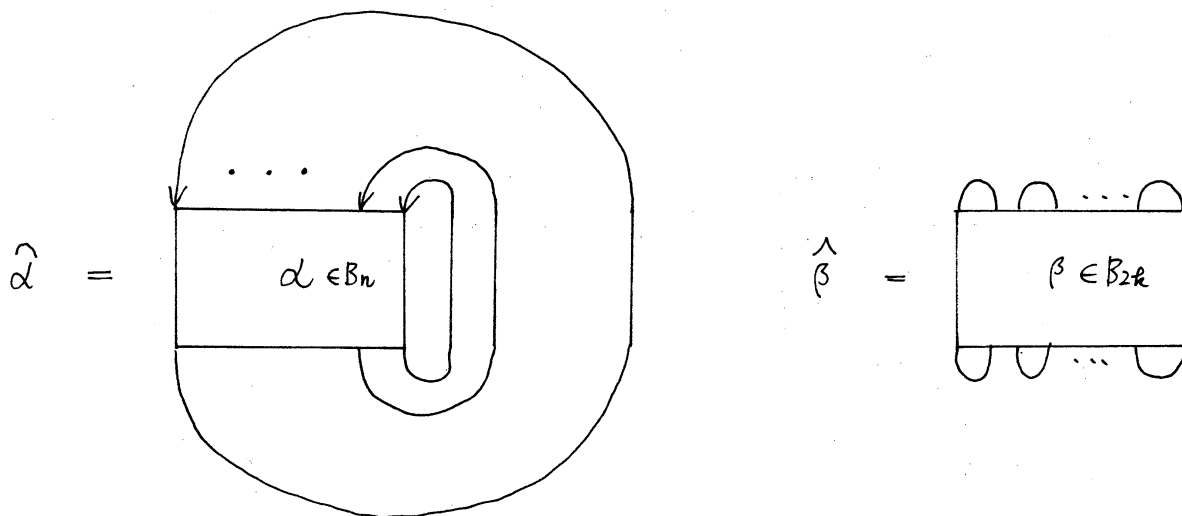
$B_n = \langle \sigma_1, \sigma_2, \dots, \sigma_{n-1} \mid \sigma_i \sigma_{i+1} \sigma_i = \sigma_{i+1} \sigma_i \sigma_{i+1}, \sigma_i \sigma_j = \sigma_j \sigma_i, |i-j| > 1 \rangle$ を Artin の braid 群とする. $\alpha \in B_n$ に対して, closed braid $\hat{\alpha}$ の isotopy type の多項式不変量 — Jones 多項式 — を Jones は次のように定義した: A_n を 1 と射影 e_1, e_2, \dots, e_{n-1} で生成された von Neumann 環とし, $\gamma_t: B_n \rightarrow A_n$ を $\gamma_t(\sigma_i) = g_i = \gamma_t(te_i - (1-e_i))$ で定義された表現, $\text{tr}: A_n \rightarrow \mathbb{C}$ を Jones のトレースとする. このとき $\hat{\alpha}$ の Jones 多項式は

$$(1) \quad V_{\hat{\alpha}}(t) = d^{n-1} \text{tr}(\gamma_t(\alpha)),$$

但し, $d = -(t+1)/\sqrt{t}$. さらに Jones は $\beta \in B_{2k}$ に対してその plat $\hat{\beta}$ の Jones 多項式が

$$(2) \quad V_{\hat{\beta}}(t) \equiv d^{3k-1} \text{tr}(\gamma_t(\beta) e_1 e_3 \dots e_{2k-1})$$

で与えられることを示した. ここで " \equiv " は \sqrt{t} のべきを除いて一致すること意味する. $\hat{\alpha}$ に対しては orientation は定まっているが, $\hat{\beta}$ では定まらない.

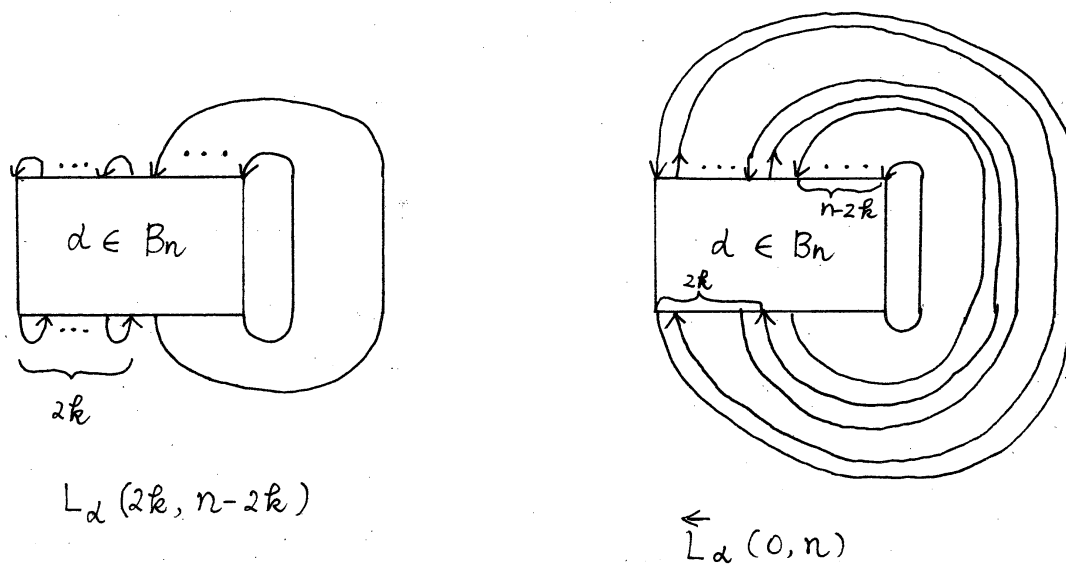


次の定理は (1) と (2) を一般化して 1 つの公式にまとめられたものである。

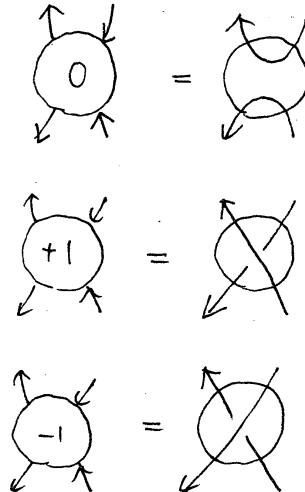
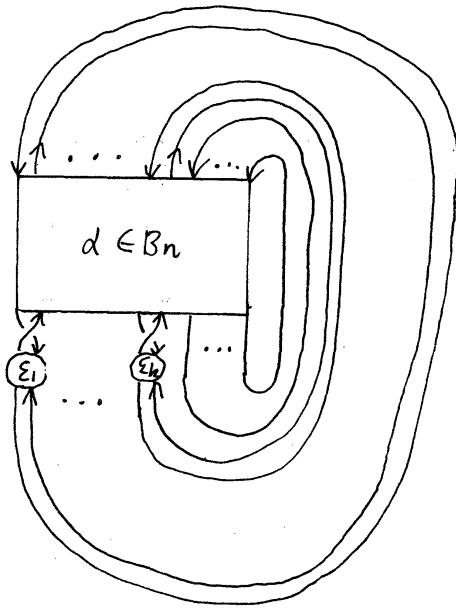
定理 1. $\alpha \in B_n$ とし, $L_\alpha(2k, n-2k)$ を下の図のような oriented link とする. このとき, その Jones 多項式は

$$(3) \quad V_{L_\alpha(2k, n-2k)}(t) = t^{\lambda} \int^{n+k-1} \text{tr}(\tau_t(\alpha) e_1 e_3 \cdots e_{2k-1}),$$

\vec{k} を $\vec{L}_\alpha(0, n)$ の sublink で上向き orientation がつけられたものとし, $\lambda = \text{lk}(\vec{k}, \vec{L}_\alpha(0, n) - \vec{k})$.



証明. $\overleftarrow{L}_{\varepsilon_1 \varepsilon_2 \dots \varepsilon_k}$, $\varepsilon_i = 0, \pm 1$, を次の link とする.



$\{\overleftarrow{L}_{\varepsilon_1 \dots +1 \dots \varepsilon_k}, \overleftarrow{L}_{\varepsilon_1 \dots -1 \dots \varepsilon_k}, \overleftarrow{L}_{\varepsilon_1 \dots 0 \dots \varepsilon_k}\}$ は skein triple である.

$\overleftarrow{V}_{\varepsilon_1 \dots \varepsilon_k}$ を $\overleftarrow{L}_{\varepsilon_1 \dots \varepsilon_k}$ の Jones 多項式 とすると,

$$\begin{aligned} \overleftarrow{V}_{0 \dots 0} &= \frac{1}{\mu} (t^{-1} \overleftarrow{V}_{10 \dots 0} - t \overleftarrow{V}_{-10 \dots 0}) \\ &= \frac{1}{\mu^2} (t^{-1} (t^{-1} \overleftarrow{V}_{110 \dots 0} - t \overleftarrow{V}_{1-10 \dots 0}) - t (t^{-1} \overleftarrow{V}_{-110 \dots 0} - t \overleftarrow{V}_{-1-10 \dots 0})) \\ &\dots \end{aligned}$$

$$(4) \quad = \frac{1}{\mu^k} \sum_{\varepsilon_i = \pm 1} (-1)^{m_{\varepsilon_1 \dots \varepsilon_k}} t^{-\frac{k}{2} + 2m_{\varepsilon_1 \dots \varepsilon_k}} \overleftarrow{V}_{\varepsilon_1 \dots \varepsilon_k}$$

但し, $m_{\varepsilon_1 \dots \varepsilon_k}$ は $\{\varepsilon_1, \dots, \varepsilon_k\}$ の中の -1 の個数, $\mu = (t-1)/\sqrt{t}$.

$d \sigma_1^{1-\varepsilon_1} \sigma_3^{1-\varepsilon_2} \dots \sigma_{2k-1}^{1-\varepsilon_k}$, $\varepsilon_i = \pm 1$, に対応する closed braid を

$\overrightarrow{L}_{\varepsilon_1 \varepsilon_2 \dots \varepsilon_k}$ とする. $\overrightarrow{L}_{\varepsilon_1 \varepsilon_2 \dots \varepsilon_k}$ と $\overleftarrow{L}_{\varepsilon_1 \varepsilon_2 \dots \varepsilon_k}$ と orientation が異なる

sublink を $\overrightarrow{K}_{\varepsilon_1 \varepsilon_2 \dots \varepsilon_k}$ とする. $\lambda_{\varepsilon_1 \varepsilon_2 \dots \varepsilon_k} = \text{lk}(\overrightarrow{K}_{\varepsilon_1 \varepsilon_2 \dots \varepsilon_k}, \overrightarrow{L}_{\varepsilon_1 \dots \varepsilon_k} - \overrightarrow{K}_{\varepsilon_1 \varepsilon_2 \dots \varepsilon_k})$ とすると,

$$\lambda_{\varepsilon_1 \varepsilon_2 \dots \varepsilon_k} = -\lambda + m_{\varepsilon_1 \varepsilon_2 \dots \varepsilon_k}.$$

$\vec{V}_{\varepsilon_1 \dots \varepsilon_k} \in \vec{L}_{\varepsilon_1 \dots \varepsilon_k}$ の Jones 多項式 とすると, Jones の reversing result から

$$\overleftarrow{V}_{\varepsilon_1 \dots \varepsilon_k} = t^{-3\lambda_{\varepsilon_1 \dots \varepsilon_k}} \vec{V}_{\varepsilon_1 \dots \varepsilon_k}$$

であるから,

$$(5) \quad \overleftarrow{V}_{\varepsilon_1 \dots \varepsilon_k} = \delta^{n-1} t^{3\lambda - 3m_{\varepsilon_1 \dots \varepsilon_k}} \text{tr}(a g_1^{1-\varepsilon_1} g_2^{1-\varepsilon_2} \dots g_{2k-1}^{1-\varepsilon_{2k-1}}),$$

但し, $a = r_t(d)$, $g_i = r_t(\sigma_i) = \sqrt{t}(te_i - (1-e_i))$.

(5) と (4) に代ると,

$$\begin{aligned} \overleftarrow{V}_{0 \dots 0} &= \frac{1}{\mu^k} \sum_{\varepsilon_i = \pm 1} (-1)^{m_{\varepsilon_1 \dots \varepsilon_k}} t^{-k+2m_{\varepsilon_1 \dots \varepsilon_k}} \delta^{n-1} t^{3\lambda - 3m_{\varepsilon_1 \dots \varepsilon_k}} \text{tr}(a g_1^{1-\varepsilon_1} \dots g_{2k-1}^{1-\varepsilon_{2k-1}}) \\ &= \frac{\delta^{n-1} t^{3\lambda}}{\mu^k} \sum_{\varepsilon_i = \pm 1} (-1)^{m_{\varepsilon_1 \dots \varepsilon_k}} t^{-k-m_{\varepsilon_1 \dots \varepsilon_k}} \text{tr}(a g_1^{1-\varepsilon_1} \dots g_{2k-1}^{1-\varepsilon_{2k-1}}) \\ &= \frac{\delta^{n-1} t^{3\lambda} (-1)^k t^{-2k}}{\mu^k} \sum_{\varepsilon_i = \pm 1} (-t)^{k-m_{\varepsilon_1 \dots \varepsilon_k}} \text{tr}(a g_1^{1-\varepsilon_1} \dots g_{2k-1}^{1-\varepsilon_{2k-1}}) \\ &= \frac{\delta^{n-1} t^{3\lambda} (-1)^k t^{-2k}}{\mu^k} \text{tr}(a(g_1^2 - t)(g_2^2 - t) \dots (g_{2k-1}^2 - t)), \end{aligned}$$

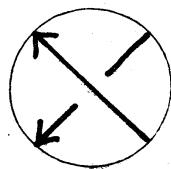
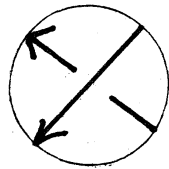
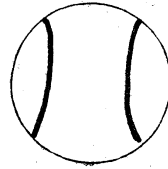
一方, (6) $g_i^2 - t = -t^2(-t+t^1)e_i = -t^2 \delta^\mu e_i$. 従って,

$$\begin{aligned} \overleftarrow{V}_{0 \dots 0} &= \frac{\delta^{n-1} t^{3\lambda} (-1)^k t^{-2k}}{\mu^k} \text{tr}(a (-t^2)^k \delta^{\frac{k}{2}\mu} e_1 e_3 \dots e_{2k-1}) \\ &= t^{3\lambda} \delta^{n+k-1} \text{tr}(r_t(d) e_1 e_3 \dots e_{2k-1}). \quad \blacksquare \end{aligned}$$

この定理 1 を用いると, 次の V_∞ -formula を得ることもできる

る: L_1, L_{-1}, L_∞ を 1 点の近傍で次の図のようにならして,

それ以外の部分は全く同じ diagram をもつような j の link とする.

 L_{+1}  L_{-1}  L_{∞}

定理 2. $V_{+1}, V_{-1}, V_{\infty}$ をそれぞれ, $L_{+1}, L_{-1}, L_{\infty}$ の Jones 多項式とすると,

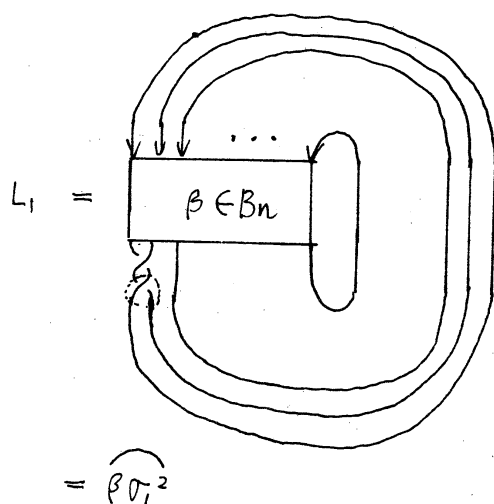
$$V_{+1} - t V_{-1} + t^{3/2} (t-1) V_{\infty} = 0,$$

但し, $g = \begin{cases} \lambda(K_0^2) \text{ (Case (a))}, & \lambda(K_0^2) - \lambda(K_{\infty}^2) = \lambda(K_0^1) \text{ (Case (a)')}, \\ \lambda(K_{-1}^1) + \frac{1}{2} = \lambda(K_1^1) - \frac{1}{2} \text{ (Case (b))}, & \lambda(K_{-1}^1) + \frac{1}{2} - \lambda(K_{\infty}^2) \text{ (Case (b)')}, \end{cases}$

K は L の sublink とするとき, $\lambda(K) = \ell k(K, L-K)$.

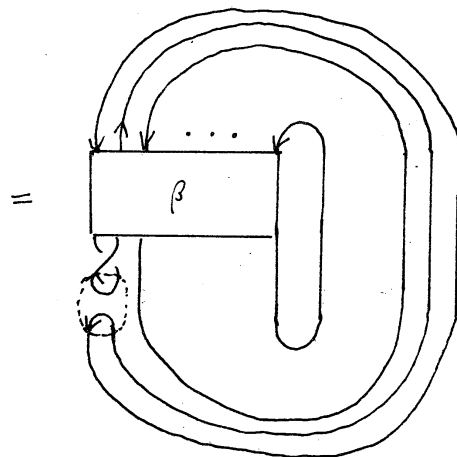
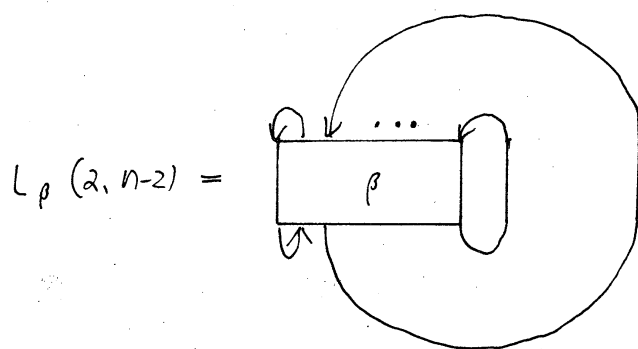
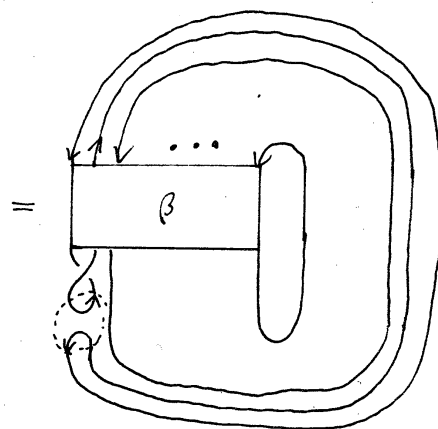
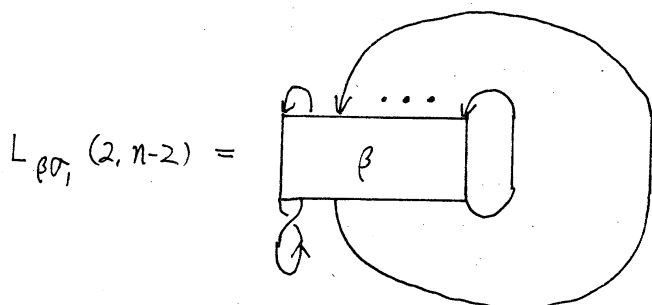
	L_1	L_{-1}	L_0	L_{∞}	L_{∞}
a)					
				Case (a)	Case (a)'
b)					
				Case (b)	Case (b)'

証明. Cases (a)', (b)' は Jones' reversing result により,
 それぞれ (a), (b) から導かれる. L_1 は closed braid とし 2 下の
 図のように表わせる. よう, L_{-1} , L_0 も closed braid と有り,
 $L_\infty = L_{\beta\sigma_1}(2, n-2)$ (a), $L_\beta(2, n-2)$ (b) と有る.



$$L_{-1} = \widehat{\beta\sigma_1\sigma_1^{-1}} = \widehat{\beta}$$

$$L_0 = \widehat{\beta\sigma_1}$$



定理 1 により

$$V_{\infty} = \begin{cases} t^{3\lambda} \delta^n \operatorname{tr}(r_t(\beta \sigma_1) e_1) & \text{Case (a),} \\ t^{3\lambda} \delta^n \operatorname{tr}(r_t(\beta) e_1) & \text{Case (b),} \end{cases}$$

$$\therefore \lambda = \begin{cases} \operatorname{lk}(\vec{\kappa}, \vec{L}_{\beta \sigma_1}(0, n) - \vec{\kappa}) & \text{Case (a)} \\ \operatorname{lk}(\vec{\kappa}, \vec{L}_{\beta}(0, n) - \vec{\kappa}) & \text{Case (b)} \end{cases}$$

$\vec{\kappa}$ は上向き orientation をもつ sublink. (b) について計算すると,

$$\begin{aligned} V_{\infty} &= -t^{3\lambda-2} \mu^{-1} \delta^{n-1} \operatorname{tr}(r_t(\beta)(g_1^2 - t)) \quad (\because (6)) \\ &= -t^{3\lambda-2} \mu^{-1} \left\{ \delta^{n-1} \operatorname{tr}(r_t(\beta \sigma_1^2)) - t \delta^{n-1} \operatorname{tr}(r_t(\beta)) \right\} \\ &= -t^{3\lambda-2} \mu^{-1} (V_1 - t V_{-1}) \quad (\because (11)) \end{aligned}$$

$$\text{よって,} \quad V_1 - t V_{-1} + t^{-3(\lambda-\frac{1}{2})} (t-1) V_{\infty} = 0$$

$$(a) \text{ については, } g_1 e_1 = t^{\frac{3}{2}} e_1 \text{ に注意して,}$$

$$V_1 - t V_{-1} + t^{-3\lambda} (t-1) V_{\infty} = 0$$

$$\text{を得る. また, } \lambda = \begin{cases} -\lambda(\kappa_0^2) & \text{Case (a)} \\ -\lambda(\kappa_1^1) & \text{Case (b)} \end{cases} \text{ もすぐには確かめられず.} \quad \blacksquare$$

系 2.1. L_1 を knot とするとき, L_{-1}, L_{∞} も knot である.

$$V_1 - t V_{-1} + t^{3\lambda(L_0)} (t-1) V_{\infty} = 0$$

が成り立つ, ここで $\lambda(L_0)$ は L_0 の 2 つの component の linking number.

証明. 定理 2 の Case (a) or (a)' を適用する. ■